

УДК 669.295.5:669.296.5

СТРУКТУРНЫЕ ПРЕВРАЩЕНИЯ В ЛЕГИРОВАННОМ НИКЕЛИДЕ ТИТАНА: РАСПАД ТВЕРДЫХ РАСТВОРОВ И МАРТЕНСИТНЫЕ ПРЕВРАЩЕНИЯ

Е. А. Бровкина, А. Г. Хунджуа

(кафедра физики твердого тела)

E-mail: elena@solst.phys.msu.ru; khundjua@solst.phys.msu.ru

Рассмотрены сплавы, относящиеся к трем основным разрезам системы Ti–Ni–Me (Me — легирующий металл), отвечающим формулам $Ti_{50}Ni_{50-x}Me_x$, $Ti_{50-x}Ni_{50}Me_x$, $Ti_{50-x}Ni_{50-x}Me_{2x}$. Проведен анализ экспериментальных данных по растворимости легирующих элементов, мартенситным превращениям и распаду твердых растворов в указанных системах. Сделан вывод о наличии по крайней мере двух типов распада B2-твёрдого раствора в сплавах на основе никелида титана, каждый из которых сопровождается закономерными изменениями характеристик мартенситных превращений.

Растворимость металлов в никелиде титана

Интерметаллическое соединение $TiNi$ (ОЦК B2-структура) является фазой переменного состава с максимальной областью гомогенности 5–7 ат.-% [1]. Многие металлы образуют с никелидом титана твердые растворы замещения, и их растворимость может меняться в широком интервале концентраций. При этом важным оказывается как выбор конкретного легирующего элемента, так и то, в какую подрешетку никелида титана (из двух возможных) этот элемент вводится. Например, такие элементы, как Au, Fe, Pd, Pt, Co при замещении атомов никеля обладают неограниченной растворимостью в B2-фазе, образуя непрерывные ряды псевдобинарных твердых растворов $TiNi-TiAu$, $TiNi-TiFe$, $TiNi-TiPd$, $TiNi-TiPt$, $TiNi-TiCo$. В то же время растворимость этих элементов при введении их в подрешетку титана не превышает нескольких атомных процентов [1]. Таким образом, целесообразно исследовать растворимость элементов с учетом того, в какую из подрешеток этот элемент вводится. Поэтому далее будут рассмотрены сплавы, относящиеся к трем основным разрезам системы Ti–Ni–Me (Me — легирующий металл), отвечающим формулам $Ti_{50}Ni_{50-x}Me_x$, $Ti_{50-x}Ni_{50}Me_x$, $Ti_{50-x}Ni_{50-x}Me_{2x}$.

Следует помнить, что во многих других системах соблюдение аналогичных формул еще не гарантирует размещение атомов легирующего элемента в соответствующей подрешетке. Однако в большинстве сплавов на основе никелида титана такая гарантия есть: дело в том, что атомный объем по Гольдшмидту Ω_{Me} для большинства металлов, используемых для легирования, лежит в интервале

$$\Omega_{Ni} < \Omega_{Me} < \Omega_{Ti} \quad (1)$$

(выполняется для Me = Co, Fe, Mn, Cr, Cu, V, Nb, Au, Pd, Pt, Re, Mo и не выполняется для Ta, Hf, Zr, Al, у которых атомный объем больше или равен атомному объему титана). Кроме того, отсутствие растворимости самого титана в соединении $TiNi$ сви-

детельствует о невозможности размещения атомов титана в никелевой подрешетке выше уровня, определяемого степенью дальнего порядка соединения $NiTi$. Поэтому есть основание полагать, что при малой концентрации легирующих элементов, при которых выполняется условие (1), их атомы будут с большой вероятностью попадать в нужную подрешетку в соответствии с приведенными выше формулами. В пользу этого свидетельствуют результаты исследования сплавов Ti–Ni–Fe методом эффекта Мёссбауэра [2], а также приведенные в литературе экспериментальные значения параметра решетки ОЦК B2-фазы для легированных сплавов [3].

Сплавы разреза $Ti_{50}Ni_{50-x}Me_x$. Как уже было отмечено, неограниченной растворимостью в никелиде титана при замещении никеля обладают Fe, Co, Au, Pt и Pd. Высокой растворимостью обладает медь: твердые растворы $Ti_{50}Ni_{50-x}Cu_x$ исследованы до значения $x = 35$ [4]. По-видимому, речь идет о метастабильных пересыщенных твердых растворах, поскольку отмечается, что при содержании меди, превышающем 28 ат.-%, в сплаве выделяются фазы на основе соединения $TiCu$ с тетрагональной упорядоченной решеткой типа B11. Этими шестью металлами исчерпывается список хорошо растворимых элементов. К малорастворимым относятся Al, Zr, Hf, Ta, Nb, V, Mn, Mo, Cr. По данным различных авторов, их растворимость не превышает 2–4 ат.-% (возможно, большей растворимостью обладает ванадий). Следует отметить, что влияние термической обработки на экспериментальные результаты не должно исключаться, так как растворимость обычно зависит от температуры, и при этом границы растворимости определены довольно условно. Например, по данным работы [2], предел растворимости Nb в никелиде титана не превышает 2 ат.-%, а в нашей работе закалкой после гомогенизации при 1000 °C получены однофазные твердые растворы состава $Ti_{50}Ni_{46}Nb_4$.

Сплавы разреза $Ti_{50-x}Ni_{50}Me_x$. В отличие от сплавов предыдущего разреза при замещении

атомов титана все исследованные легирующие элементы относятся к малорастворимым (2–4 ат.%). В работе [2] в качестве легирующих элементов были исследованы Sc, Zr, Hf, Cr, Mn, Al, Ga. В наших работах, обобщенных в [3], закалкой после гомогенизации при 1000 °С были получены однофазные B2-твердые растворы $\text{Ni}_{50}\text{Ti}_{46}\text{V}_4$, $\text{Ni}_{50}\text{Ti}_{46}\text{Nb}_4$, $\text{Ni}_{50}\text{Ti}_{46}\text{Mo}_4$, $\text{Ni}_{50}\text{Ti}_{46}\text{Ta}_4$, $\text{Ni}_{50}\text{Ti}_{46}\text{Re}_4$, $\text{Ni}_{50}\text{Ti}_{46}\text{Hf}_4$, $\text{Ni}_{50}\text{Ti}_{46}\text{Zr}_4$. Данные о фазовом составе сплавов, исследованных в нашей лаборатории, приведены в таблице. При замене 10 ат.% титана алюминием, молибденом и цирконием закаленные сплавы содержали значительное количество второй фазы.

Сплавы разреза $\text{Ti}_{50-x}\text{Ni}_{50-x}\text{Me}_{2x}$. Растворимость по этому разрезу также не превышает 4 ат.%. В работе [5] показано, что закаленные твердые растворы $\text{Ti}_{48}\text{Ni}_{48}\text{V}_4$ и $\text{Ti}_{48}\text{Ni}_{48}\text{Nb}_4$ однофазны, а сплавы с 8 и 12 ат.% легирующего элемента содержат в незначительном количестве вторую фазу, идентифицировать которую не удалось. При легировании медью по данному разрезу удалось получить однофазный твердый раствор состава $\text{Ti}_{48}\text{Ni}_{48}\text{Cu}_4$. Предпринятые нами попытки увеличения содержания меди в твердом растворе до 8 ат.% не удалось: закаленный сплав оказался двухфазен и кроме B2-фазы содержал тройное соединение TiNiCu [6].

Мартенситные превращения в легированных сплавах

В настоящее время экспериментально установлено влияние легирования на мартенситные характеристики твердых растворов на основе TiNi. Общий вывод сводится к тому, что любое легирование, так же как и отклонение состава от стехиометрии TiNi в бинарных сплавах системы Ti-Ni, вызывает стабилизацию высокотемпературной B2-фазы. Стабилизация высокотемпературной фазы при легировании различными элементами может приводить к смещению (более или менее резкому) области реализации прямых и обратных мартенситных превращений в сторону низких температур или к полному подавлению мартенситных превращений [3, 7].

С теоретических позиций резкое понижение температур начала мартенситных превращений M_i и T_R при увеличении концентрации никеля (стабилизация высокотемпературной B2-фазы) на качественном уровне связывается с особенностями электронного энергетического спектра вблизи уровня Ферми [8]. В никелиде титана стехиометрического состава уровень Ферми располагается вблизи острого максимума плотности состояний, поэтому любое изменение электронной концентрации сплава вследствие отклонения состава от стехиометрии или легирования нарушает экстремальную ситуацию и приводит к ста-

Тип распада в сплавах на основе никелида титана

Состав сплава	Разрез	Фазовый состав	Мартенситные превращения***	Тип распада
$\text{Ti}_{50}\text{Ni}_{46}\text{Nb}_4$	1	B2	$\text{B2} \rightarrow \text{R} \rightarrow \text{R} + \text{B19}' \rightarrow \text{B19}'$	Не установлен
$\text{Ti}_{46}\text{Ni}_{50}\text{Nb}_4$	2	B2	Отсутствуют до 5 К	$\text{B2} \rightarrow \text{B2} + \text{Ti}_3\text{Ni}_4$
$\text{Ti}_{48}\text{Ni}_{48}\text{Nb}_4$	3	B2	$\text{B2} \rightarrow \text{B2} + \text{B19}' \rightarrow \text{B19}'$	Не установлен
$\text{Ti}_{46}\text{Ni}_{46}\text{Nb}_8$	3	B2	$\text{B2} \rightarrow \text{B2} + \text{B19}' \rightarrow \text{B19}'$	Не установлен
$\text{Ti}_{50}\text{Ni}_{46}\text{V}_4$	1	B2	$\text{B2} \rightarrow \text{R} \rightarrow \text{R} + \text{B19}' \rightarrow \text{B19}'$	$\text{B2} \rightarrow \text{B2}(1) + \text{B2}(2)$
$\text{Ti}_{46}\text{Ni}_{50}\text{V}_4$	2	B2	Отсутствуют до 5 К	$\text{B2} \rightarrow \text{B2} + \text{Ti}_3\text{Ni}_4$
$\text{Ti}_{48}\text{Ni}_{48}\text{V}_4$	3	B2	$\text{B2} \rightarrow \text{R} \rightarrow \text{R} + \text{B19}' \rightarrow \text{B19}'$	$\text{B2} \rightarrow \text{B2}(1) + \text{B2}(2)$
$\text{Ti}_{46}\text{Ni}_{46}\text{V}_8$	3	B2	$\text{B2} \rightarrow \text{R} \rightarrow \text{R} + \text{B19}' \rightarrow \text{B19}'$	$\text{B2} \rightarrow \text{B2}(1) + \text{B2}(2)$
$\text{Ti}_{46}\text{Ni}_{50}\text{Mo}_4$	2	B2	Отсутствуют до 5 К	$\text{B2} \rightarrow \text{B2} + \text{Ti}_3\text{Ni}_4$
$\text{Ti}_{50}\text{Ni}_{46}\text{Mo}_4$	1	B2	$\text{B2} \rightarrow \text{R} \rightarrow \text{R} + \text{B19}' \rightarrow \text{B19}'$	Не установлен
$\text{Ti}_{46}\text{Ni}_{50}\text{Ta}_4$	2	B2	Отсутствуют до 5 К	$\text{B2} \rightarrow \text{B2} + \text{Ti}_3\text{Ni}_4$
$\text{Ti}_{48}\text{Ni}_{48}\text{Ta}_4$	3	B2	$\text{B2} \rightarrow \text{B2} + \text{B19}' \rightarrow \text{B19}'$	Не установлен
$\text{Ti}_{46}\text{Ni}_{50}\text{Cr}_4$	2	B2	Отсутствуют до 5 К	$\text{B2} \rightarrow \text{B2} + \text{Ti}_3\text{Ni}_4$
$\text{Ti}_{46}\text{Ni}_{50}\text{Mn}_4$	2	B2	Отсутствуют до 5 К	$\text{B2} \rightarrow \text{B2} + \text{Ti}_3\text{Ni}_4$
$\text{Ti}_{46}\text{Ni}_{50}\text{Re}_4$	2	B2	Отсутствуют до 5 К	$\text{B2} \rightarrow \text{B2} + \text{Ti}_3\text{Ni}_4$
$\text{Ti}_{49.5}\text{Ni}_{50.5}$	2*	B2	$\text{B2} \rightarrow \text{B2} + \text{B19}' \rightarrow \text{R} + \text{B19}' \rightarrow \text{B19}'$	$\text{B2} \rightarrow \text{B2} + \text{Ti}_3\text{Ni}_4$
$\text{Ti}_{49}\text{Ni}_{51}$	2*	B2	$\text{B2} \rightarrow \text{B2} + \text{B19}' \rightarrow \text{R} + \text{B19}' \rightarrow \text{B19}'$	$\text{B2} \rightarrow \text{B2} + \text{Ti}_3\text{Ni}_4$
$\text{Ti}_{48}\text{Ni}_{52}$	2*	B2	Отсутствуют до 5 К	$\text{B2} \rightarrow \text{B2} + \text{Ti}_3\text{Ni}_4$
$\text{Ti}_{46}\text{Ni}_{50}\text{Zr}_4$	3**	B2	$\text{B2} \rightarrow \text{B2} + \text{B19}' \rightarrow \text{B19}'$	Не установлен
$\text{Ti}_{46}\text{Ni}_{50}\text{Hf}_4$	3**	B2	$\text{B2} \rightarrow \text{B2} + \text{B19}' \rightarrow \text{B19}'$	Не установлен

Примечание. Фазовый состав приведен при температурах выше M_H .

* Сплавы отнесены к разрезу 2, так как в них концентрация никеля превышает концентрацию титана.

** Сплавы отнесены к разрезу 3, так как в них концентрация никеля равна суммарной концентрации титана и его аналога (циркония или гафния).

*** Мартенситные превращения в закаленных сплавах.

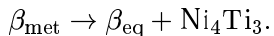
билизации B2-фазы и существенно понижает температуру начала мартенситного превращения M_i .

Распад твердых растворов на основе никелида титана

При исследовании структурных превращений в легированном никелиде титана необходимо учитывать его термическую историю: для пересыщенного твердого раствора, полученного закалкой, не исключено протекание процессов распада. Эти процессы связаны с объемной диффузией и, следовательно, с изменениями концентрации и могут существенно влиять на характеристики мартенситных превращений.

Анализ известных экспериментальных данных показывает, что в никелиде титана, легированном d -переходными элементами V–VIII подгрупп, тип распада твердого раствора определяется не конкретным легирующим элементом, а принадлежностью сплава к одному из трех основных разрезов диаграммы состояний системы Ti–Ni–Me.

В сплавах разреза $\text{Ni}_{50}\text{Ti}_{50-x}\text{Me}_x$ закаленные метастабильные B2-твердые растворы (β -фаза) распадаются по схеме



Распад метастабильного твердого раствора β_{met} сопровождается его обеднением никелем, в результате чего температуры начала мартенситных превращений M_i и T_R в мартенситы B19' и R монотонно смещаются вверх по температурной шкале, причем диапазон смещения мартенситных точек для некоторых сплавов достигает величин ~ 300 К. Распад по схеме $\beta_{\text{met}} \rightarrow \beta_{\text{eq}} + \text{Ni}_4\text{Ti}_3$ имеет место практически во всех исследованных сплавах данного разреза: $\text{Ni}_{50}\text{Ti}_{46}\text{Mo}_4$, $\text{Ni}_{50}\text{Ti}_{46}\text{Nb}_4$, $\text{Ni}_{50}\text{Ti}_{46}\text{V}_4$, $\text{Ni}_{50}\text{Ti}_{46}\text{Ta}_4$, $\text{Ni}_{50}\text{Ti}_{46}\text{Mn}_4$, $\text{Ni}_{50}\text{Ti}_{46}\text{Re}_4$ [3].

Другой тип распада имеет место в сплавах, принадлежащих к двум другим разрезам тройной диаграммы состояний $\text{Ti}_{50-x}\text{Ni}_{50-x}\text{Me}_{2x}$ и $\text{Ni}_{50-x}\text{Ti}_{50}\text{Me}_x$ [9]. А именно в сплавах $\text{Ni}_{48}\text{Ti}_{48}\text{V}_4$, $\text{Ni}_{46}\text{Ti}_{46}\text{V}_8$, $\text{Ti}_{50}\text{Ni}_{46}\text{V}_4$ на ранних стадиях распада наблюдается расслоение B2-твердого раствора на две изоморфные фазы B2(1) и B2(2). Фазы B2(1) и B2(2) отличаются либо концентрацией элементов, либо типом упорядочения и в соответствии с классификацией распадающихся мартенситных сплавов испытывают мартенситные превращения с характерными особенностями, обусловленными неоднородностью исходной austenитной фазы. К этим особенностям прежде всего следует отнести сложную последовательность мартенситных превращений при охлаждении и аномальный температурный гистерезис превращения $\text{B}2 \rightarrow \text{R}$ при термоциклировании. Следует отметить, что если сложную последовательность мартенситных превращений при охлаждении удается объяснить в рамках аддитивной модели [10] как суперпозицию двух последовательностей в твердых растворах B2(1) и B2(2), то ано-

мальный температурный гистерезис в рамках этой модели необъясним.

Известно, что вопросу о термической устойчивости нелегированного никелида титана посвящено не одно исследование, но считать эту проблему решенной пока нет оснований. Возможно, что в никелиде титана и в твердых растворах разрезов $\text{Ti}_{50-x}\text{Ni}_{50-x}\text{Me}_{2x}$ и $\text{Ni}_{50-x}\text{Ti}_{50}\text{Me}_x$ структурные изменения протекают медленно и ограничиваются лишь перераспределением атомов по подрешеткам. В этом случае их непосредственное выявление будет затруднено и может потребовать проведения прецизионных измерений. В такой ситуации важными становятся косвенные признаки расслоения, выявляемые по порядку протекания мартенситных превращений. Отметим, что прежде всего речь идет о превращении $\text{B}2 \rightarrow \text{R}$, так как оно по термодинамическим характеристикам приближается к фазовым переходам второго рода, что позволяет судить о расслоении по наличию интервалов двухфазного равновесия. Превращение в мартенсит B19' является фазовым переходом первого рода, протекающим по схеме $\text{B}2 \rightarrow \text{B}2 + \text{B}19'$, и уже само по себе приводит к двухфазному состоянию, существующему практически во всей области температур ниже M_H . Если к этому добавить, что многие легирующие элементы подавляют именно превращение $\text{B}2 \rightarrow \text{R}$, становится понятным, почему вопрос о расслоении B2-фазы затрагивается сравнительно редко.

Таким образом, имеющиеся экспериментальные данные позволяют сделать вывод о наличии по крайней мере двух типов распада B2-твердого раствора в сплавах на основе никелида титана, каждый из которых сопровождается закономерными изменениями характеристик мартенситных превращений.

Литература

- Хачин В.Н., Пущин В.Г., Кондратьев В.В. Никелид титана: структура и свойства. М., 1992.
- Лотков А.И. Структурные и фазовые превращения в сплавах на основе никелида титана: Автореф. дис. ... д-ра физ.-мат. наук. Томск, 1992.
- Хунджуа А.Г. Структурные превращения мартенситного типа в распадающихся твердых растворах замещения: Автореф. дис. ... д-ра физ.-мат. наук. М., 1998.
- Токарев В.Н., Савинов А.С., Хачин В.Н. // ФММ. 1984. **56**, № 2. С. 340.
- Хунджуа А.Г., Захарова М.И. // Вестн. Моск. ун-та. Физ. Астрон. 1987. **28**, № 1. С. 74 (Moscow University Phys. Bull. 1987. **42**, N 4. P. 84).
- Захарова М.И., Хунджуа А.Г., Осипов Э.К., Ковнеристый Ю.К. // Металлы. 1984. № 5. С. 143.
- Kolomytsev V.I. // Scr. Met. et Mat. 1994. **31**, N 10. P. 1415.
- Шабаловская С.А., Лотков А.И., Батурина А.А. // ФММ. 1983. **56**, № 6. С. 1118.
- Илюшин А.С., Хунджуа А.Г., Муслим М.М. // Вестн. Моск. ун-та. Физ. Астрон. 1994. № 3. С. 90 (Moscow University Phys. Bull. 1994. N 3. P. 88).
- Хунджуа А.Г. // Материаловедение. 2000. № 6. С. 26.